

ISSN 1607-9922

# МАТЕРИАЛЫ ТЕХНОЛОГИИ ИНСТРУМЕНТЫ

Том 10 • № 2 • 2005



## ТЕХНОЛОГИИ

УДК 621.373.826

### ЛАЗЕРНАЯ ОБРАБОТКА КВАРЦЕВЫХ СТЕКОЛ, СИНТЕЗИРОВАННЫХ ЗОЛЬ-ГЕЛЬ МЕТОДОМ

С. В. ШАЛУПАЕВ<sup>\*</sup>, В. Е. ГАЙШУН, А. В. СЕМЧЕНКО, Ю. В. НИКИТИК

ЮО «Гомельский государственный университет им. Ф. Скорины», ул. Советская 104, 264699, г. Гомель, Беларусь

**Приведены результаты исследований процесса лазерного термомаскальвания тонких стеклянных пластин, полученных при использовании коллоидного варианта золь-гель метода. Проведен анализ термоупругих полей, формируемых лазерным излучением с длиной волны 10,6 мкм при лазерной обработке тонких гель-стекол.**

#### Введение

В настоящее время широкое распространение находят нетрадиционные технологии синтеза материалов с особыми свойствами. Одной из таких технологий является золь-гель метод синтеза кварцевых стекол. Неоспоримыми преимуществами этого метода является экономичность, экологичность, возможность энерго- и ресурсосбережения. Используя золь-гель метод, можно синтезировать стекла, как особо чистые, так и активированные различными элементами, и обладающие такими привлекательными свойствами, как плавленые кварцевые стекла, как высокая термо- и химическая стойкость, высокая оптическая однородность и прозрачность. Гель-стекла имеют большие потенциальные возможности практического применения (в качестве активных и пассивных светофильтров, заготовок для вытяжек оптического волнка, люминофоров и др.) [1–2].

В связи с этим представляется актуальным исследование эффективных методов обработки гель-стекол. В силу особенностей их свойств оптимальным вариантом является использование лазерных методов обработки излучением с длиной волны 10,6 мкм, которые уже нашли широкое применение для обработки различных видов кварцевых стекол [3–4] и других хрупких неметаллических материалов [5–8].

Одним из наиболее эффективных методов высокоточной лазерной обработки хрупких неметаллических материалов является управляемое лазерное термомаскальвание (УЛТ). К преимуществам УЛТ относятся высокая точность разделения, его безотходность, высокая скорость и низкая энергоемкость, нулевая ширина реза и повышение механической прочности получаемых изделий, в

сравнению с другими способами обработки [9]. В данной работе приводятся результаты исследования лазерной обработки тонких кварцевых гель-стекол методом УЛТ.

#### Методика получения кварцевых гель-стекол

Тонкие кварцевые гель-стекла были синтезированы с использованием коллоидного варианта золь-гель метода [10]. Преимуществом этой методики, по сравнению с гибридным вариантом золь-гель метода, является значительное сокращение продолжительности технологического процесса за счет исключения операций гидролиза тетраэтоксилиата и значительного увеличения скорости сушки ксерогелей (с 5–7 дней до 14–30 часов).

В качестве исходного сырья использовали аэросил (аморфный тонкодисперсный кремнезем  $\text{SiO}_2$ ). Золь был получен из порошка аэросила марки А-300 и дистилированной воды. Полученная смесь подвергалась ультразвуковой обработке в течение 2,5 часов и центрифугированию с целью удаления крупных частиц аэросила. Далее золь-коллоид разливали в формы и выдерживали до образования геля. Заготовки геля сушили на воздухе и прокаливали во фторсодержащей атмосфере, в случае необходимости синтеза активированных стекол ксерогели пропитывали в растворах хлоридов либо нитратов редкоземельных и переходных металлов. Далее их сушили на воздухе и спекали в потоке гелия при температуре 1300 °C до получения прозрачного стекла. Характеристики стекол, синтезированных золь-гель способом, приведены в табл. 1.

\* Автор, с которым следует вести переписку.

#### Лазерная обработка кварцевых стекол, синтезированных золь-гель методом

71

Таблица 1

Плотность, кг/м <sup>3</sup>	2201
Температура, Дж/кг·°С	250
Теплопроводность, Вт/м·°С	0,7
Коэффициент линейного термического расширения, $\text{град}^{-1}\cdot 10^6$	5,7
Модуль Юнга, ГПа	73
Коэффициент Пуассона	0,158
Микротвердость, МПа	7000–8200

#### Экспериментальные исследования

Исследования процессов термомаскальвания кварцевых гель-стекол были выполнены на установке (схема на рис. 1) для лазерной обработки материалов [11]. На рис. 2 приведено расположение лазерного пучка и хладагента в плоскости обработки. Позиция 1 отмечена лазерный пучок с длиной волны  $\lambda = 10,6 \text{ мкм}$ , позиция 2 отмечена зона подачи хладагента.

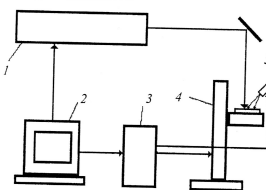


Рис. 1. Схема лазерной установки: 1 –  $\text{CO}_2$ -лазер, 2 – компьютер, 3 – блок управления, 4 – координатный стол, 5 – форсунка

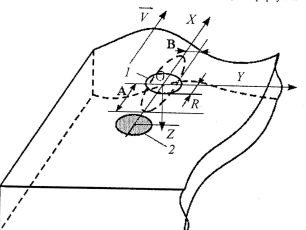


Рис. 2. Расположение лазерного пучка и хладагента в плоскости обработки: 1 – лазерный пучок, 2 – хладагент

В качестве образцов для исследования режимов управляемого термомаскальвания были использованы пластины из кварцевого стекла, синтезированного золь-гель способом толщиной от 0,5 до 1,5 мм.

Термомаскальвание стеклянных пластин выполнялось следующим образом. Обрабатываемая кварцевая пластина перемещалась с помощью ко-

ординатного устройства относительно неподвижно расположенного лазерного пучка и форсунки, обеспечивающей подачу хладагента. При этом нагрев верхнего слоя кварца осуществлялся излучением пучка, поглощенного в поверхностном слое гель-стекла. В дальнейшем нагретая поверхность кварцевого гель-стекла резко охлаждалась при прохождении материалом области подачи хладагента. Таким образом, при обработке методом УЛТ кварцевая пластина нагревалась локальными поверхностными источниками тепла в месте воздействия излучения  $\text{CO}_2$ -лазера и подверглась резкому охлаждению в области воздействия хладагента.

Полученные экспериментальные результаты показывают принципиальную возможность нанесения разделающей микротрещины при использовании УЛТ для обработки тонких гель-стекол. Однако необходимо отметить, что соответствующие режимы нанесения микротрещин обладают повышенной чувствительностью к малейшим изменениям значений технологических параметров. Это проявляется в наблюдаемых в эксперименте переходах УЛТ на режим сквозного термомаскальвания или на срыв трещинообразования при малейших отклонениях технологических параметров от заданного режима обработки.

#### Численное моделирование УЛТ кварцевых гель-стекол

Для выявления особенностей механизма УЛТ тонких кварцевых гель-стекол необходима информация о распределении термоупругих полей, возникающих в зоне обработки.

Невозможность использования аналитических методов для решения нелинейных задач термоупругости вызвала необходимость применения численных методов моделирования процессов лазерной обработки. В наибольшей степени для этих целей подходит метод конечных элементов [12–13]. Существенным преимуществом данного метода является возможность нанесения решения задач для тел с произвольной геометрией, со смешанными граничными условиями и с учетом зависимости свойств материалов от температуры.

Таким образом, для выявления особенностей УЛТ тонких гель-стекол в соответствии с выше изложенной схемой реализации процесса было выполнено [14–15] конечно-элементное решение задачи о распределении термоупругих полей в кварцевых пластинах в квазистатической постановке. В расчетной модели были учтены основные факторы, оказывающие первостепенное влияние на процесс УЛТ. К ним относятся: параметры лазерного пучка (длина волны и плотность мощности лазерного излучения, размеры и форма лазерного пучка на поверхности разделляемого материала), скорость относительного перемещения лазерного пучка и материала, теплофизические свойства, количество и условия подачи хладагента в зо-

и обработки, теплофизические и физико-механические свойства разделяемого материала.

Для определения термоупругих полей, возникающих при лазерном термосакальвании образца, вначале выполнялся расчет полей температур. Для этого находилось решение вариационной задачи о минимуме функционала  $\Phi(T)$ , связанного с физическим процессом теплопроводности и обладающего тем свойством, что любая минимизирующая его функция удовлетворяет как исходному дифференциальному уравнению теплопроводности, так и граничным условиям, определяющим воздействие движущегося лазерного пучка при одновременном учете интенсивной теплоподачи в месте подачи хладагента.

После определения температурного поля выполнялось вычисление компонент тензоров деформаций и напряжений. Используемые для расчета свойства материалов приведены в табл. 1, при этом были учтены зависимости коэффициентов теплопроводности и удельной теплопроводности от температуры [16–17]. Значения расчетных технологических параметров приведены в табл. 2. Расчеты проводились для пластины с геометрическими размерами 20×10×0,5 мм.

Таблица 2. Значения технологических параметров (расчет)

№	Параметры лазерного пучка	Мощность лазерного излучения, Вт	Скорость резки, мм/с
1	Круглый $R = 1 \text{ мм}$	35	60
2	Эллипс $A = 3 \text{ мм}$ $B = 1 \text{ мм}$	35	40

На рис. 3 представлены результаты расчета температурных полей, формируемых в исследуемом образце в результате обработки круглым и эллиптическим лазерными пучками, а на рис. 4 – распределение соответствующих им напряжений  $\sigma_{yy}$ , действующих перпендикулярно плоскости разделения.

Как видно из рис. 3, оба технологических режима характеризуются приблизительно одинаковыми значениями максимальных температур  $\approx 1200^{\circ}\text{C}$ , которые являются предельно допустимыми при обработке кварцевых стекол методом УЛТ, т. к. при более высоких температурах такие стекла теряют упрочнительные свойства и становятся пластичными.

Как следует из графиков, представленных на рис. 4, в месте воздействия лазерного излучения формируется зона сжимающих напряжений, которая в случае использования круглого пучка (режим № 1) характеризуется большой величиной напряжений и более выраженной локализацией в плоскости разделения. Кроме этого, из рис. 4 видно, что в верхних слоях материала формируется зона растягивающих напряжений, расположение которой определяется областью подачи хладагента. Эта зона ограничена сжимающими напряже-

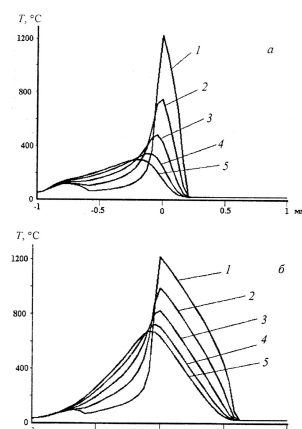


Рис. 3. Зависимость температуры от расстояния до центра лазерного пучка,  $^{\circ}\text{C}$ : а – круглый лазерный пучок; б – эллиптический лазерный пучок ( $Y = 0 \text{ мм}$ );  $I - Z = 0$ ; 2 – 0,1 мм; 3 – 0,2 мм; 4 – 0,3 мм; 5 – 0,4 мм

ниями, сформированными лазерным пучком, и характеризуется несколько большими размерами, чем в случае использования эллиптического пучка (режим № 2). Однако в обоих случаях величина напряжений растяжения  $\sigma_{yy}$ , действующих перпендикулярно плоскости обработки, недостаточно велика для инициирования, разделяющей микротрещины. Из анализа распределения термоупругих полей следует, что инициирование разделяющими микротрещинами должно производиться в поверхностных слоях материала в зоне растягивающих напряжений, сформированных за счет подачи хладагента.

Проведенное численное моделирование позволяет сделать вывод о том, что после инициализации начальная микротрещина начинает свое движение и распространяется до зоны сжимающих напряжений, сформированных лазерным излучением. Далее нестационарный рост трещины прекращается, и ее развитие определяется изменением пространственного распределения зон растягивающих и сжимающих напряжений, обусловленных взаимным перемещением обрабатываемого материала, лазерного пучка и хладагента, как и в исследованном ранее случае обработки более толстых образцов.

### Лазерная обработка кварцевых стекол, синтезированных золь-гель методом

развития микротрещины, инициализация и развитие которой происходит в зоне растягивающих напряжений, сформированных в области подачи хладагента.

### Литература

- Гаишун, В. Е., Бойко, А. А., Семченко, А. В., Мельникова, И. М. и Поддубенчий, Е. Н. SPIE – 1995, 263
- Поддубенчий, Е. Н., Мельникова, И. М., Плужник, В. В., Карапши, М. Н. и Рунсто, Н. К. Non-Organic Materials. – 1999 (12), N 38
- Емельянов, В. А., Кондратенко, В. С., Шадулаев, С. В. и др. Анализ особенностей лазерного термосакальвания кварцевого стекла // Электронная техника. Сер. Лазерная техника и оптоэлектроника – 1991 (59), вып. 3, 90–92
- Шалупаев, С. В., Семченко, А. В., Никитюк, Ю. В. Silica gel glasses after laser radiation // Material Science. – 2003 (27), N 4, 495–501
- Бокут, В. В., Кондратенко, В. С., Шадулаев, С. В. и др. Термоупругие поля в твердых телах при их обработке лазерными пучками специальной геометрии // Мат. препринт института физики АН БССР. – 1987
- Шадулаев, С. В., Шершнев, Е. Б., Никитюк, Ю. В. Лазерное термосакальвание полимерных и поликристаллических материалов // CERAMICS. POLISH CERAMIC BULLETIN. – 2001 (65), 75–83
- Шадулаев, С. В., Шершнев, Е. Б., Никитюк, Ю. В. Лазерное разделение стекла в плоскости, параллельной поверхности имени Ф. Скорины. – 2001 (9), № 6, 114–117
- Шадулаев, С. В., Шершнев, Е. Б., Никитюк, Ю. В. Комбинированное лазерное термосакальвание // Лазерная физика и спектроскопия. Материалы IV Междунар. конф. В 2 ч. Гродно: Гродненский Ун-т, 1999, ч. 2, 177–179
- Емельянов, В. А., Шадулаев, С. В., Шершнев, Е. Б. и др. Динамика формирования полей температурных напряжений в процессе лазерного управляемого термосакальвания // Лазерные новости. – 1995, 14–17
- Ильин, Б. В., Камин, М. Н. Способ получения заготовки из силикатного стекла (пат. № 120040251; заявка 26.03.2004)
- Шадулаев, С. В., Шершнев, Е. Б., Никитюк, Ю. В. Пат. № 682 РБ, МПК С 03 В Установка для лазерного термосакальвания кружков неметаллических материалов // Заявка 2000/0292; Заявл. 10.12.2001. Опубл. 30.09.2002
- Шадулаев, Н. И. Метод конечных элементов в расчетах деформаций и напряжений // Л. Машностроение – 1983
- Сетгердин, Л. Применение метода конечных элементов. – М.: Мир, 1979
- Новакин, В. Теория упругости. – М.: Мир, 1975
- Постеригам, Я. С., Ломакин, В. А., Коляин, Ю. М. Термоупругие поля неоднородной структуры. – М.: Наука, 1986
- Кишин, И. К., Алерин, В. Г., Аронсон, Б. А. Таблицы физических величин. Справочник // Под ред. И. К. Кикина. – М.: Атомиздат, 1976
- Мачулка, Г. А. Лазерная обработка стекла. – М.: Сов. радио, 1979

### Заключение

В результате проведенных исследований были определены режимы обработки гель-стекол методом УЛТ. Тонкие кварцевые пластины были изготовлены при помощи коллоидного варианта золь-гель метода. Использованный вариант синтеза силикатных стекол по сравнению с гибридным вариантом золь-гель метода обеспечил значительное сокращение продолжительности технологического процесса за счет исключения операций гидролиза тетратильтосиликата и значительного увеличения скорости сушки ксерогелей. Проведенный анализ термоупругих полей показывает, что распределение напряжений сжатия в объеме образца определяет форму и глубину

Shalupaev S. V., Gaishun V. E., Semchenko A. V., and Nikityuk Y. V.  
Laser treatment of silica gel glasses synthesized with the sol-gel method.

The paper describes the result of laser temposplitting of the thin gel glass plates fabricated by the colloid variant of the sol-gel method. The thermoelastic fields created by laser beam with a wavelength of 10.6 micrometers at laser treatment of thin gels-glasses are analyzed.

Поступила в редакцию 05.10.04.

© С. В. Шалупаев, В. Е. Гайшун, А. В. Семченко, Ю. В. Никитюк, 2005.